

基于 IFEP 的自适应下界改进方法

吴国桐

计算机科学与工程系

深圳, 中国

wugt2022@mail.sustech.edu.cn

摘要—在传统遗传规划算法 (EP) 中, 采用自适应步长, 在搜索初期有着较快的收敛速度, 而在后期可以通过减小步长逐渐逼近全局最优。本文首先对传统 EP 算法进行了深入研究和复现, 并在此基础上, 动态调整步长 η 下界, 并且改进了 η 的初始值设定方法。由于柯西分布在距离最优解距离较远时效果更好, 反之高斯分布在距离较近时更好, 因此本文在改进 EP 方法 (IFEP) 基础上, 使用两个独立互不干扰的种群, 根据一种新的种群选择方法, 可以更好的结合两者优点。实验表明, 本文提出的改进方法相对于原有的 EP 算法有着更快的收敛速度和更强的搜索的能力。

关键词—遗传算法, 自适应步长, 种群选择方法

I. 引言

使用 EP 求解最优化问题, 个体通常采用实数型编码, 在没有先验知识的前提下, 目的是寻找全局的最优解。与普通遗传算法相比, EP 只会采用变异的方法来产生新解, 并采用自适应步长的调整策略——在搜索开始的时候, 步长较大从而收敛更快; 而随着搜索的进行, 自适应减小步长, 从而最终能收敛于全局最优。

在变异过程中, 经典 EP 方法 (CEP) 使用高斯分布来产生新的个体。由于高斯分布在远离均值处概率密度极小, 因此在搜索之初距离最优解较远时, 高斯分布产生的新解收敛非常慢。另外一种基于柯西分布的快速 EP 方法 (FEP) 仅仅在变异时采用柯西分布, 其它与 CEP 保持不变, 实验结果证明, 柯西分布在搜索之初能产生距离父辈较远的子代, 从而收敛速度加快; 然而对于一些初始解与最优解距离较近的测试问题上, FEP 分布反而效果更差。基于以上两种分布的特点, 提出了一种改进的 EP 方法 (IFEP), 每个父代分别通过高斯分布和柯西分布变异产生两个子代, 然后在锦标赛选择环节上, 所有父代和子代都参与选择, 选出每次迭代中胜利次数最多的个体作为新一代的种群, 其它与 FEP 和 CEP 保持不变。实验结果证明, IFEP 能够结合两者的优点, 有着更快的收敛速度和更优的搜索结果。

EP 方法最大的特点, 即在于动态调整步长, 而决定步长的关键变量 η , 同样作为个体中的一个基因, 在搜索过程中不断演化。在论文中[1], 对于所有的测试问题, η 的初始值被设置为一个常量 3, 这样必然带来很低的泛用性。可以发现随着演化代数的增加, η 的值逐渐减小, 大约在 10000 代后, η 的值已经非常趋近于 0。如图 1 所示, 当 η 值非常小时, 搜索步长几乎为 0, 效率大为降低。一种改进方法是对 η 设置一个下界, 从而避免让 η 的值趋向于 0, 然而在论文[1]中, 整个搜索过程这个下界始终固定不变, 而不能根据具体的问题和搜索过程进行调整, 同样会带来较差的泛用性。因此本文的主要工作是对 η 的初始化和下界的动态调整做出了优化, 以期改进上述问题。

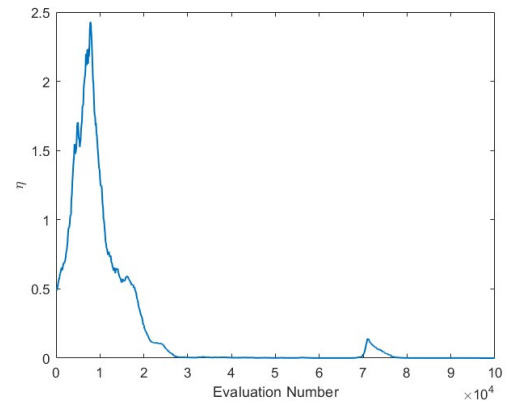


图 1. 使用 CEP 求解 ackley 问题, 随着演化的进行, η 的值逐渐趋于 0。其中横坐标表示演化中评估的次数, 纵坐标为 η 的值的变化。

虽然实验证明 IFEP 能够结合两种分布的优点, 取得了较 CEP 和 FEP 更好的结果, 但是 IFEP 的结合方法是线性的, 即每个个体需要同时产生两种分布的子代, 然后将子代和父代简单聚合在一起。本文使用两个独立的种群, 分别产生高斯分布和柯西分布的个体, 然后交叉进行锦标赛选择, 而不是使用 IFEP 的简单聚合过程, 具体细节将在算法部分进行介绍。

II. 算法框架

本文在 IFEP 的基础上, 采用基于自适应下界调整的 EP 方法 (AFEP), 主要做出了以下改进工作:

1. 改进了 η 的初始值设定, 根据决策变量的范围和维度来定义 η 的初始值, 使其可以更好适应不同测试问题。
2. 改进了 η 的下界设定, 文献[2]建议使用下一代种群 η 的中位数来作为其动态下界。但是本文在具体实践过程中, 发现该方法依赖于调整的频率, 如果每一代都进行下界调整, 最后下界反而会呈现上升趋势, 导致搜索失败。因此本文将 η 的下界同样作为个体中的一个基因, 参照 η 的变异方法进行逐代演化。
3. 使用两个种群来分别表示高斯分布和柯西分布, 其变异产生新个体的过程互不干扰。但是在锦标赛选择过程中, 为了保持种群的多样性, 每个种群的父代个体将同新个体竞争。

具体的算法步骤如下:

1. 初始化: 产生 2μ 个个体作为第一代种群, 并设定当前代数 $k = 1$ 。其中高斯分布的种群 $(x_{Gi}, \eta_{Gi}, lb_{Gi})$, 以及柯西分布的种群 $(x_{Ci}, \eta_{Ci}, lb_{Ci}), \forall i \in \{1, 2, \dots, \mu\}$ 。其中 x 为决策变量, η 为自适应步长, l 为 η 的下界。对于 x 的初始化, 在其约束条件内进行均匀采样; 而对于 η 的初始化方法, 根据不同问题的不同决策空间, 采

用如(1)的初始化方法，其中 $j \in \{1, 2, \dots, D\}$ ， D 为决策变量的维度。根据文献[3]的建议，此处取值为 $\lambda = 0.8/\sqrt{D}$ ；而 lb 的初始化则直接取 η 初始值的平均值。

$$\eta = \lambda \times rand \times (X_{max}(j) - X_{min}(j)) \quad (1)$$

2. 变异：对于每一个个体 $(x_{Gi}, \eta_{Gi}, lb_{Gi})$ 和 $(x_{Ci}, \eta_{Ci}, lb_{Ci})$ ，根据自己种群对应的变异算子，分别产生一个新的个体，分别可以用(2)和(3)表示。其中， $N_j(0,1)$ 表示均值为0，方差为1的高斯分布随机数，且对于每一维决策变量都不相同。对于步长 η 的变异方法，不论高斯分布还是柯西分布的种群，本文都与 FEP 和 CEP 保持一致，如式(4)表示。而对于 η 下界 lb ，则是参照 η 的变异方法，如式(5)进行演化。

$$x'_{Gi}(j) = x_{Gi}(j) + \eta_{Gi} \times N_j(0,1) \quad (2)$$

$$x'_{Ci}(j) = x_{Ci}(j) + \eta_{Ci} \times \delta_j \quad (3)$$

$$\eta'_i(j) = \eta_i(j) \times \exp(\tau' N(0,1) + \tau N_j(0,1)) \quad (4)$$

$$lb'(j) = lb(j) \times \exp(N(0,1)) \quad (5)$$

3. 计算适应度函数：根据测试问题函数，分别计算每一个个体 $(x_{Gi}, \eta_{Gi}, lb_{Gi})$ 和 $(x_{Ci}, \eta_{Ci}, lb_{Ci})$ 的适应度大小。
4. 选择：对于不同的种群，组成两个不同的联合种群 Pop1 和 Pop2，并分别对每一个联合种群进行锦标赛选择，两个联合种群可以表示为(6)和(7)。其中锦标赛选择的方法是，将所有个体混合在一起，对于每一个个体 (x_i, η_i) ，随机抽取 q 个其它的个体 $(x_j, \eta_j), \forall j \in \{1, 2, \dots, q\}$ ，比较 (x_i, η_i) 和其它 q 个个体的适应度值，并且记下总共获胜的次数

$$Pop1 = \{(x_{Gi}, \eta_{Gi}), (x'_{Gi}, \eta'_{Gi}), (x'_{Ci}, \eta'_{Ci})\} \quad (6)$$

$$Pop2 = \{(x_{Ci}, \eta_{Ci}), (x'_{Gi}, \eta'_{Gi}), (x'_{Ci}, \eta'_{Ci})\} \quad (7)$$

5. 产生下一代种群：对于不同的两个种群 Pop1 和 Pop2，分别选出获胜个体最多的 μ 个个体作为下一代种群的父辈。
6. 如果满足算法终止条件则退出循环，否则返回第2步

III. 实验分析

本文使用课程提供的十个单目标测试问题，并在此基础上进行实验。为了进一步理解实验，本文将决策变量的维数取为3，分别给出不同测试问题在三维下的直观图像，如图2展示。可以观察到，其中是 sphere 函数和 step 函数，形状为简单的单峰函数，最优值都是在决策空间中心取得。rosenbrock 函数和 camel3 函数形状相似，在决策空间边际变化较大，最终呈现出筒状。而对于 noisyQuartic 函数、schwefel226 函数、ackley 函数、holder 函数和 michal 函数都为典型的多模函数，对于同一个目标值，有多个决策空间的点与之对应，因此存在许多局部最优解，将会对最终寻找全局最优解造成较大的困难。

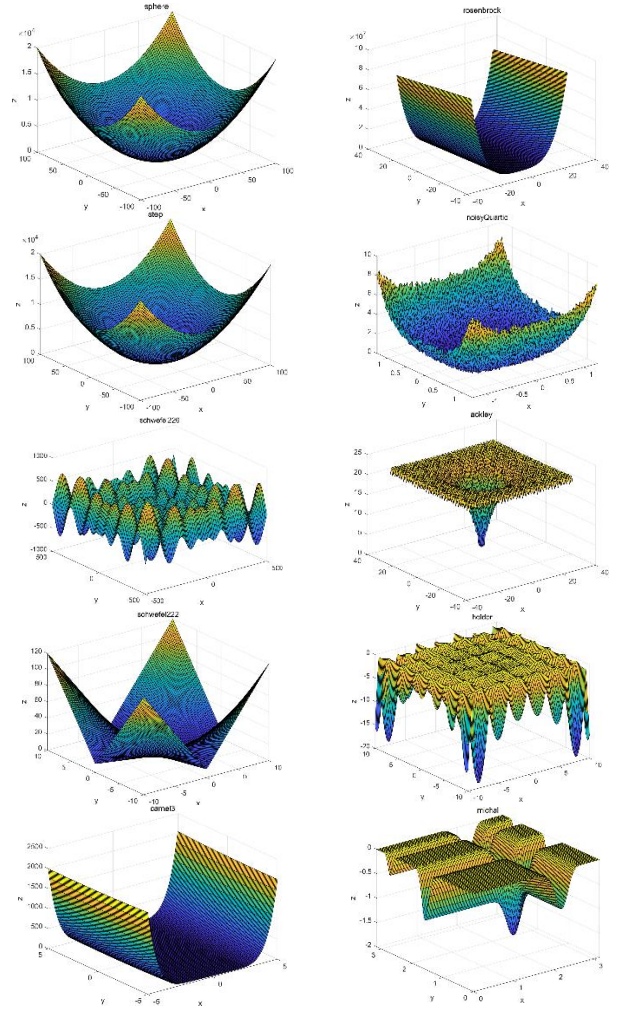
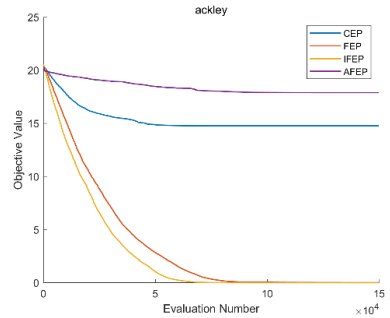


图2. 三维角度下，不同测试问题的目标值形状

实验测试平台的 CPU 为 AMD Ryzen 5 5600 6-Core Processor，在 MATLAB 2022b 上进行编程，每个测试问题运行 30 次求平均值。设定实验的超参数 $q = 10$ ，种群中的个体数量为 100，下界初始值 lb 为自适应步长 η 初始值的平均值。设定每个问题最大的评估次数为 300000，分别实现了 CEP、FEP、LFEP 和 AFEP，图3展示了所有运行过程，不同算法在同一测试问题的平均收敛速度。在 shwefel222 和 shwefel222 函数上，AFEP 有着最快的收敛速度，并且取得了最好的结果。而在 camel3 和 michal 函数上，AFEP 的收敛速度普遍比 FEP 和 CEP 更快，而不及 IFEP 方法，然而取得的最优值和三种方法相差无几。



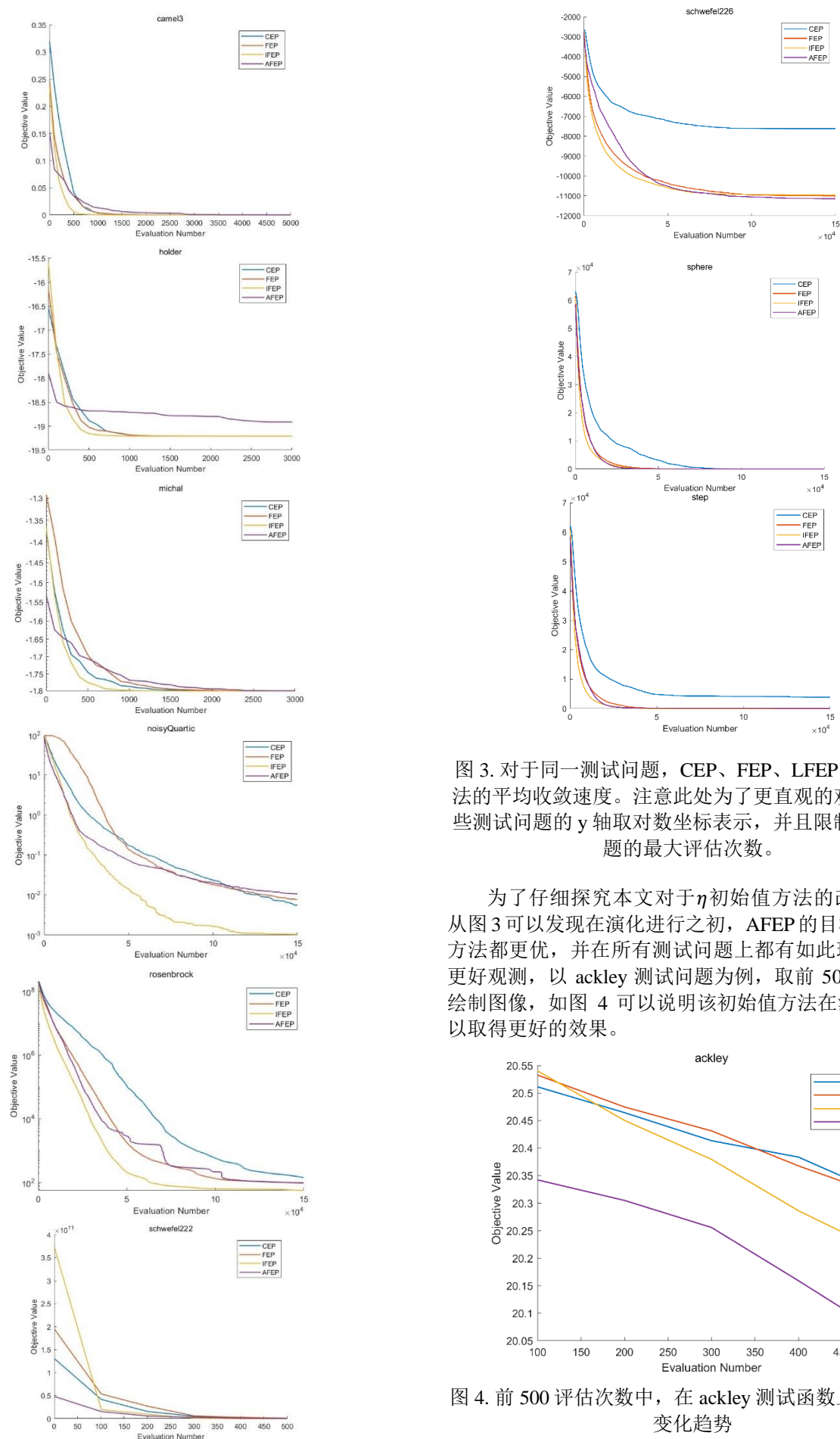


图 3. 对于同一测试问题，CEP、FEP、LFEP、AFEP 算法的平均收敛速度。注意此处为了更直观的观测，在一些测试问题的 y 轴取对数坐标表示，并且限制了一些问题的最大评估次数。

为了仔细探究本文对于 η 初始值方法的改动作用，从图 3 可以发现在演化进行之初，AFEP 的目标值较其它方法都更优，并在所有测试问题上都有如此现象。为了更好观测，以 ackley 测试问题为例，取前 500 评估次数绘制图像，如图 4 可以说明该初始值方法在演化之初可以取得更好的效果。

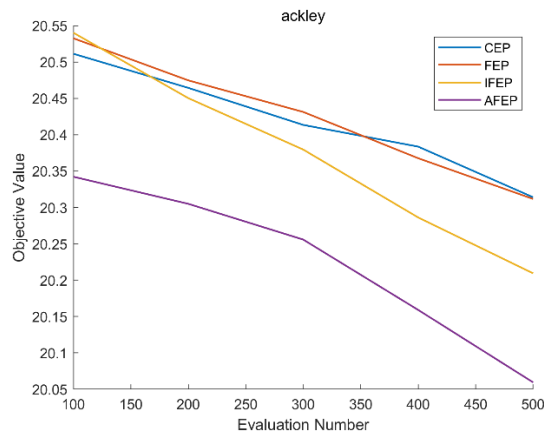


图 4. 前 500 评估次数中，在 ackley 测试函数上目标值的变化趋势

然而在 **ackley** 测试函数上, **AFEP** 的表现则相较于其它方法有着最差的表现。为了深入探究其原因, 由于本文将 η 下界 lb 作为一个种群个体参与演化, 图 5 表现了整个演化过程中 η 平均值的变化。可以发现在演化之初, η 的值较小, 与 **FEP** 和 **CEP** 过程中的 η 的变化相差无几。但是在演化的后期, η 值突然急剧变大。一种可能的解释是, 由于演化后期非常接近最优目标, 每一代的取得的进步非常小, 为了跳出局部最优, η 向增大的趋势进行演化, 但是这种趋势在 **ackley** 和 **holder** 问题上并不适用, 因此取得的效果更差。

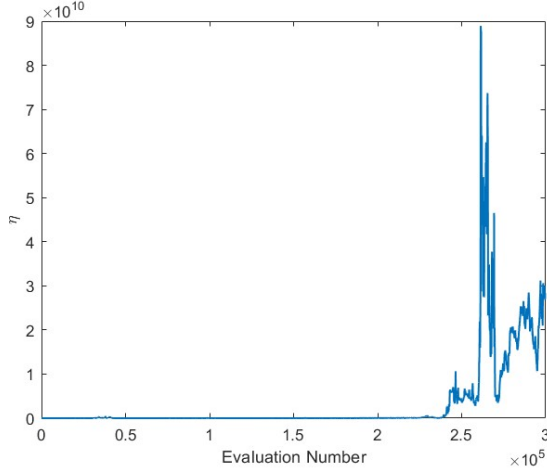


图 5. 使用 **AFEP** 求解 **ackley** 问题, 随着演化的进行, η 值的变化。其中横坐标表示演化中评估的次数, 纵坐标是 η 的值的变化。

而对于本文采用了两个互不干扰的种群, 来改进原有 **LFEP** 对于两种分布的组合方式。因此本文采用 **The Wilcoxon signed ranks test** 来衡量 **AFEP** 相对于其它方法的表现, 具体数据如表 1 所示。可以发现虽然在 **ackley** 问题上效果不佳, 但在同样的评估次数上, 普遍取得了相较于其它 **CEP**、**IFEP** 更优秀的结果, 而最终的结果和

FEP 相近, 证明本文所采用的两种分布的组合方式是有助于寻优的。

IV. 结论

本文在 **LFEP** 的基础上, 提出了 **AFEP**, 主要针对自适应步长 η 的初始化和下界进行了动态设置, 同时使用两个互不干扰的种群, 改进了原有的 **LFEP** 对于高斯分布和柯西分布的线性组合方式。实验结果表示, **AFEP** 结合了 **CEP** 和 **FEP** 各自的优点, 而且相对于 **LFEP** 更优秀的搜索能力。

然而本文将 η 的下界作为种群中的一个个体进行演化, 虽然在一些问题上取得了较好的结果, 但是在一些特殊的测试问题上表现不佳, 未来应该在此基础上做进一步的优化。另外, 目前本文的工作主要采用实验的方法进行验证, 而在理论上缺乏进一步的深入研究, 这也可以作为未来工作方向之一。

REFERENCES

- [1] Xin Yao, Yong Liu and Guangming Lin, "Evolutionary programming made faster," in IEEE Transactions on Evolutionary Computation, vol. 3, no. 2, pp. 82-102, July 1999, doi: 10.1109/4235.771163.
- [2] Liang, Ko-Hsin, Xin Yao, and Charles S. Newton. "Adapting self-adaptive parameters in evolutionary algorithms." Applied Intelligence 15 (2001): 171-180.
- [3] Mallipeddi, Rammohan, S. Mallipeddi, and Ponnuthurai N. Suganthan. "Ensemble strategies with adaptive evolutionary programming." Information Sciences 180.9 (2010): 1571-1581.

表 1. 不同测试问题上, 对于不同算法的 **Wilcoxon Signed Ranks Test** 的计算结果。其中表中每一个单元格的第一行数据为 30 次运行的平均值, 第二行数据为 30 次运行的方差, 加粗为该测试问题中表现最佳的算法

Problem	N	M	D	FE	CEP	IFEP	FEP	AFEP
rosenbrock	100	1	30	300000	6.8326e+1 (5.67e+1) =	5.8048e+1 (4.08e+1) =	4.2198e+1 (3.22e+1) =	6.0249e+1 (5.10e+1)
camel3	100	1	2	300000	1.7896e-11 (2.23e-11) -	1.9559e-11 (2.29e-11) -	2.4920e-11 (2.35e-11) -	0.0000e+0 (0.00e+0)
holder	100	1	2	300000	-1.9209e+1 (2.20e-10) -	-1.9209e+1 (1.67e-10) -	-1.9209e+1 (2.06e-10) -	-1.8709e+1 (7.14e-15)
schwefel222	100	1	30	300000	-2.0268e+2 (2.02e+1) -	-2.2579e+2 (3.73e+0) -	-2.2700e+2 (2.90e+0) -	-2.4779e+2 (1.02e+1)
schwefel226	100	1	30	300000	-7.6633e+3 (6.88e+2) -	-1.0983e+4 (3.26e+2) =	-1.1060e+4 (3.59e+2) =	-1.1122e+4 (4.55e+2)
ackley	100	1	30	300000	1.6226e+1 (2.45e+0) +	4.2151e-3 (2.54e-4) +	1.0761e-2 (1.06e-3) +	1.7860e+1 (6.06e+0)
michal	100	1	2	300000	-1.8013e+0 (2.83e-10) -	-1.8013e+0 (6.27e-10) -	-1.8013e+0 (8.63e-10) -	-1.8013e+0 (9.03e-16)
noisyQuartic	100	1	30	300000	8.5895e-4 (6.65e-4) +	1.1592e-3 (1.00e-3) =	2.5278e-3 (1.18e-3) +	2.5293e-3 (5.63e-3)
sphere	100	1	30	300000	2.5122e-5 (3.49e-6) +	3.3717e-5 (4.24e-6) +	2.2185e-4 (3.81e-5) +	3.7390e-1 (1.79e+0)

step	100	1	30	300000	5.4515e+3 (4.77e+3) -	8.3333e-1 (1.15e+0) =	0.0000e+0 (0.00e+0) +	1.0433e+1 (4.96e+1)
+/-/=					3/6/1	2/4/4	4/4/2	